

## یک چارچوب بهبود یافته برای بهبود کیفیت و امنیت در شبکه اینترنت اشیاء با استفاده از زنجیره بلوکی و قدرت پردازشی لایه

مه

محمد تقی شیخان\*، کیانوش آزادی\*\*

\* مالک محصول، شرکت موج آینده فراخن

\*\* دانشجوی دکتری، دانشگاه صنعتی امیرکبیر

تاریخ پذیرش: ۱۳۹۹/۰۷/۲۰

تاریخ دریافت: ۱۳۹۹/۰۱/۰۲

نوع مقاله: پژوهشی

### چکیده

با گسترش و همه‌گیر شدن اینترنت اشیاء، در آینده‌ای نه‌چندان دور شاهد وابسته شدن زندگی بشر به سرویس‌های آن خواهیم بود. در آن زمان تصور ادامه حیات بدون اینترنت اشیاء دشوار بوده و بروز اختلال در سرویس‌های آن موجب وقوع خسارات جانی و مالی بسیاری خواهد شد. بروز اختلال در سرویس‌های اینترنت اشیاء می‌تواند به دو علت پیش‌آید: اختلالات شبکه و اختلال ناشی از انجام فعالیت‌های مخرب نفوذگرها. فعالیت‌های مخرب نفوذگرها همچنین می‌تواند منجر به نقض حریم خصوصی افراد شود. در این مقاله راهکاری برای افزایش مقاومت سرویس‌های اینترنت اشیاء در برابر اختلالات شبکه و فعالیت‌های مخرب نفوذگران ارائه شده است. راهکار پیشنهادی با اتکا بر قدرت پردازشی نودهای حاضر در لایه مه، به‌صورت توأمان به کاهش تأخیر (بهبود کیفیت) سرویس و بهبود امنیت و حفظ حریم خصوصی اشیاء می‌پردازد. سایر ویژگی‌های راهکار پیشنهادی عبارت از رعایت عدالت میان اشیاء از منظر کیفیت سرویس دریافتی و حداقل نمودن سربار ناشی از پردازش و انتقال بسته‌های منقضي (بسته‌هایی که قطعاً تأخیر بیش از حد آستانه را تجربه خواهند نمود) است. رعایت عدالت موجب می‌شود کیفیت سرویس هیچ‌یک از اشیاء قربانی کاهش تأخیر سرویس کل شبکه نشود؛ چراکه ممکن است اشیاء مذکور مورد استفاده در کاربردی حیاتی (مثلاً در حوزه سلامت) باشند.

**واژگان کلیدی:** اینترنت اشیاء، پردازش مه، کیفیت سرویس، امنیت، حریم خصوصی

### ۱ مقدمه

ماشین‌ها) و غیره. اینترنت اشیاء حوزه‌ای است که جذاب‌ترین تکامل فناوریانه آتی در سیر تکاملی اینترنت را رقم خواهد زد [۱] و [۲].

اینترنت اشیاء کاربردهای فراوانی در صنعت و زندگی روزمره انسان‌ها دارد. برخی از محبوب‌ترین کاربردهای آن عبارت‌اند از: خانه هوشمند، تجهیزات پوشیدنی، شهر هوشمند، شبکه توزیع هوشمند، اینترنت صنعتی، اتومبیل‌های متصل، سلامت،

پدیده اینترنت از زمان پیدایش تا اکنون شاهد تغییرات بسیاری در سیر تکاملی خود بوده است: شبکه جهانی وب، شبکه‌ای از مستندات HTML مرتبط باهم، سیستم‌های تعاملی دوطرفه با کاربر، شبکه‌های اجتماعی، وب معنایی (قابل فهم کردن محتوا برای

الگوریتم‌هایی سبک‌وزن بر این مشکل فائق آیند. الگوریتم ارائه شده در [۱۵] داری سربرار زمان‌بندی  $O(K)$  بدون وابستگی به تعداد وظایف پردازشی- است.

[۱۶] و [۱۷] تلاش کرده‌اند تا با فشردن داده‌ها، انتخاب بهترین نود در لایه مه (با توجه به پهنای باند نودهای در دسترس) و تغییر پویای الگوی حجم داده‌های ارسالی، به کم‌ترین تأخیر و بسپاری بر کیفیت سرویس در این پژوهش‌ها دارد، الگوریتم فشردن داده‌ها مورد استفاده و قابلیت فشردن داده‌های در دسترس است؛ برخی از انواع داده‌ها قابلیت فشردن داده‌ها را بالاتری دارند.

در [۱۸] و [۱۹] نسخه‌های سبک‌وزنی از PKI<sup>۵</sup> برای احراز هویت میان لایه اشیاء و لایه مه پیشنهاد شده است. در این پژوهش‌ها تلاش شده با استفاده از زیرساخت PKI چالش احراز هویت اشیاء، نودهای لایه مه و لایه ابر را مرتفع سازند. [۲۰] نیز به موضوع احراز هویت در بستر PKI و بر پایه رمز عبور پرداخته است.

در سال‌های اخیر پژوهش‌های فراوانی در زمینه کاربرد زنجیره بلوکی در صنایع مختلف (مالی، خودروهای خودران و غیره) برای افزایش امنیت و صیانت از حریم خصوصی شده است. برای نمونه در [۲۱] تا [۲۳] تلاش شده با استفاده از مفاهیم زنجیره بلوکی، کاربرد<sup>۶</sup>های مختلف را بدون نیاز به یک سرویس دهنده متمرکز (مانند سرویس‌دهنده ابری) ایمن سازند.

در [۲۴] تا [۲۹] راهکارهایی برای حفظ حریم خصوصی در شبکه اینترنت اشیاء مبتنی بر لایه مه ارائه نموده‌اند. در این پژوهش‌ها علاوه بر مخفی نگه‌داشتن داده‌ها و اطلاعات خصوصی کاربران، استراتژی‌ها و راهکارهایی برای تضمین عدم توانایی مهاجمین در پیش‌بینی و تخمین اطلاعات حساس اشیاء و نودهای شبکه پیشنهاد شده است. مسائلی که در این مقالات مورد بررسی قرار گرفته شامل شناسایی انواع حملات شناخته شده برای استخراج داده‌های حساس (مانند حمله ایجاد تداخل، ایجاد تراکنش جعلی برای موقعیت‌یابی کاربران، تحلیل حجم و تناوب داده‌های ارسالی برای شناسایی نوع اشیاء و غیره) و پیشنهادهایی برای پیشگیری از بروز آن‌ها است.

در این پژوهش راهکاری برای بهبود کیفیت سرویس در شبکه اینترنت اشیاء با حفظ امنیت و حریم خصوصی پیشنهاد می‌شود. برای این منظور ابتدا یک الگوریتم مکاشفه‌ای برای کاهش تأخیر سرویس اشیاء ارائه شده و میزان بهبود حاصل، نمایش داده می‌شود.

خرده‌فروشی‌های هوشمند، زنجیره تأمین هوشمند و مزارع هوشمند [۳].

تحقق اینترنت اشیاء در حوزه‌های مربوط به زندگی روزمره و خصوصی مردم، در کنار مزایای بسیاری که فراهم می‌آورد، مخاطراتی نیز به همراه دارد: مخاطرات ناشی از قطعی و افت کیفیت سرویس (به دلیل وابستگی ایجاد شده به سرویس) و مخاطرات امنیتی و حفظ حریم خصوصی. مطابق پیش‌بینی‌های انجام شده، در سال ۲۰۲۵ میلادی، ۴۱ درصد بازار اینترنت اشیاء متعلق به حوزه سلامت خواهد بود [۴]؛ بنابراین ضروری است که مخاطرات فوق بررسی و مرتفع شوند، چراکه عدم توجه به آن‌ها منجر به فجایع جبران‌ناپذیری خواهد شد.

در سال‌های اخیر پژوهش‌های بسیاری حول موضوعات افزایش کیفیت سرویس، بهبود سطح امنیت و حفظ حریم خصوصی اشیاء با بهره‌گیری از قابلیت‌های لایه مه<sup>۱</sup> انجام شده است. کیفیت سرویس و امنیت دو نیاز اساسی در شبکه اینترنت اشیاء است که عدم ارضاء هر یک موجب بروز اشکالات اساسی خواهد شد؛ اما پژوهش‌های پیشین هر کدام تنها به یکی از جنبه‌های بهبود کیفیت سرویس یا حفظ امنیت و صیانت از حریم خصوصی پرداخته است. این مسئله موجب باقی ماندن نیاز برای انجام پژوهش‌هایی برای بهبود کیفیت سرویس و حفظ امنیت و حریم خصوصی به طور هم‌زمان شده است.

در [۵] تا [۱۰] تلاش شده با آلود نمودن وظایف پردازشی لایه ابر به لایه مه، موازنه‌ای میان افزایش انرژی مصرفی نودها و بهبود کیفیت سرویس اشیاء برقرار کنند. در این پژوهش‌ها پارامترهای مختلفی برای تصمیم‌گیری در مورد آلود نمودن یا ننمودن وظایف به لایه مه استفاده شده است که برای نمونه می‌توان به سطح باتری و قدرت پردازشی نودهای لایه مه، کمینه تأخیر مورد نیاز هر سرویس و میزان توان پردازشی مورد نیاز وظایف پردازشی<sup>۲</sup> اشاره نمود.

در الگوریتم‌های مبتنی بر آلود<sup>۳</sup>، زمانبندی<sup>۴</sup> پردازش و ارسال از پارامترهای مهم و تأثیرگذار بر کیفیت سرویس اشیاء است. WFQ [۱۱] و WDFQ [۱۲] الگوریتم‌های شناخته شده‌ای برای زمان‌بندی هستند. [۱۳] نیز الگوریتمی برای زمان‌بندی با اولویت<sup>۵</sup> وظایف پردازشی در پردازش ابری ارائه کرده است. الگوریتم‌های فوق‌کارایی مناسبتی از نظر بهبود کیفیت سرویس دارند؛ اما سربرار پردازشی زیادی داشته و برای نودهای مورد استفاده در اینترنت اشیاء مناسب نیستند. نویسندگان [۱۴] و [۱۵] تلاش کرده‌اند با ارائه

<sup>۵</sup> Priority-based

<sup>۶</sup> Public Key Infrastructure

<sup>۷</sup> Application

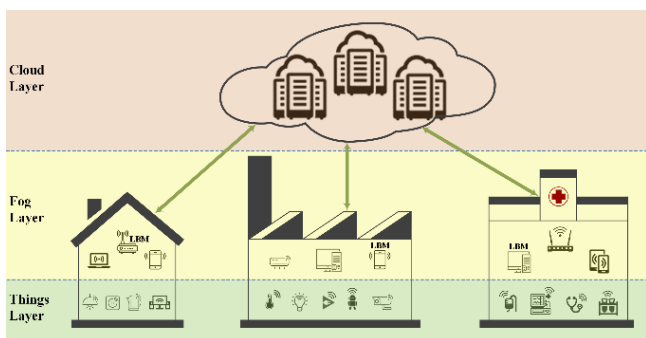
<sup>۱</sup> Fog Layer

<sup>۲</sup> Processing Task

<sup>۳</sup> Offload

<sup>۴</sup> Scheduling

خصوصی استفاده شده است. نودهای لایه مه در هر محیط، یک



شکل ۱. معماری شبکه اینترنت اشیا در راهکار پیشنهادی

زنجیره بلوکی خصوصی تشکیل می‌دهند و یکی از نودها نقش مدیر بلوک محلی (LBM<sup>۲</sup>) را بر عهده می‌گیرد. انتصاب LBM بر عهده لایه ابر است.

هر نود با یک کلید عمومی (PK<sup>۳</sup>) شناخته می‌شود و تمامی تراکنش‌های انجام شده در هر BC توسط LBM به دفترکل<sup>۴</sup> محلی اضافه می‌شود. تمامی ارتباطات میان نودها و سرویس دهندگان به صورت متقارن رمزنگاری می‌شوند.

دفترکل هر BC خصوصی تنها توسط نودهای حاضر در همان محیط نگهداری می‌شوند، اما چکیده<sup>۵</sup> دفتر کل در لایه ابر نگهداری می‌شود تا صحت آن تضمین شود. البته در شرایطی که نودهای لایه مه ظرفیت ذخیره سازی دفترکل در حافظه خود را نداشته باشند، امکان ذخیره دفترکل در حافظه سرویس دهندگان لایه ابر (به صورت رمزنگاری شده) وجود دارد.

نودها و اشیاء حاضر در هر BC خصوصی نیازمند دریافت و توافق کلیدهای رمزنگاری متقارن و نامتقارن خود به صورتی امن هستند. برای این منظور موارد زیر در شبکه اینترنت اشیا راهکار پیشنهادی فرض شده است:

- هر شیء حاضر در شبکه مجهز به یک eSIM<sup>۶</sup> است. کلیدهای رمزنگاری متقارن و نامتقارن اصلی و مکانیسم احراز هویت در این ماژول به صورت پیش فرض تعبیه شده است و با استفاده از این ماژول سرویس دهندنده های لایه ابر و اشیاء یکدیگر را به صورت امن احراز هویت می‌کنند.
- هر نود در لایه مه کلیدهای عمومی و خصوصی<sup>۷</sup> خود را تحت زیر ساخت PKI (همانند [۱۸] و [۱۹]) دریافت می‌کند. در این میان سرویس دهندگان لایه

سپس صیانت از امنیت و حریم خصوصی اشیاء با استفاده از رمزنگاری متقارن و مفاهیم زنجیره بلوکی به الگوریتم پیشنهادی افزوده شده و تاثیر این موضوع بر تاخیر سرویس برر سی می‌شود. به طور اجمالی دستاوردهای راهکار پیشنهادی به شرح زیر است:

- بهبود کیفیت سرویس با ارائه یک الگوریتم مکاشفه‌ای برای کمینه کردن تأخیر سرویس دریافتی اشیاء
- تضمین حفظ امنیت و حریم خصوصی با استفاده از الگوریتم‌ها و مکانیسم‌های امنیتی سبک‌وزن
- رعایت عدالت میان اشیاء از منظر کیفیت سرویس دریافتی
- کاهش سربرار ترافیکی و پردازشی شبکه با معدوم ساختن بسته‌های منقضی

در ادامه ابتدا مدل سیستمی و تعاریف بیان می‌شود. سپس در فصل ۳ الگوریتم مکاشفه‌ای پیشنهادی برای کاهش تأخیر سرویس و افزایش امنیت شبکه شرح داده می‌شود. در فصل ۴ نتایج شبیه سازی مورد بحث قرار گرفته و در فصل ۵ نتیجه گیری ارائه می‌شود.

## ۲ مدل سیستمی و تعاریف

همان طور که در **Error! Reference source not found.** مشاهده می‌شود، شبکه اینترنت اشیا مفروض در راهکار پیشنهادی شامل اشیاء و تجهیزات هوشمند موجود در محیط‌های مختلف (خانه، کارخانه، بیمارستان و غیره) است که به صورت سیمی یا بی سیم به شبکه جهانی اینترنت متصل هستند. شبکه مفروض متشکل از سه لایه اشیاء، مه و ابر است. در این شبکه اشیاء سرویس گیرنده هستند. نودهای حاضر در لایه مه و سرویس دهندگان لایه ابر نیز نقش سرویس دهندنده را ایفاء می‌کنند.

اشیاء به طور ممتد وظایف پردازشی تولید می‌کنند که باید ظرف مدت زمان محدودی پردازش شوند. پردازش هر وظیفه می‌تواند توسط خود شیء، یک نود در لایه مه یا یک سرویس دهندنده در لایه ابر انجام شود.

هر شیء به یک نود در لایه مه متصل است و وظایف پردازشی خود را برای آن ارسال می‌کند. نودهای لایه مه نیز دارای اتصالاتی مابین خود و به سرویس دهندگان لایه ابر هستند و این امکان را دارند که وظایف پردازشی را برای یکدیگر یا به لایه ابر آفلود نمایند.

از آنجایی که ممکن است نودهای مخرب در لایه مه نفوذ کنند، از مفاهیم زنجیره بلوکی (BC<sup>۱</sup>) برای افزایش امنیت و حفظ حریم

<sup>۵</sup> Hash

<sup>۶</sup> Embedded SIM Card

<sup>۷</sup> Public and Private Key

<sup>۱</sup> Block Chain

<sup>۲</sup> Local Block Manager

<sup>۳</sup> Public Key

<sup>۴</sup> Immutable Ledger

$$d_i = p_i^l \times (A_i) + (1 - p_{drop}^l) \times [p_i^F \times (X_{ij}^{IF} + Y_{ij}^{IF} + E_i + L_{ij}) + p_i^C \times (X_{ik}^{IC} + Y_{ik}^{IC} + E_i + E_k + \bar{H}_k + X_{ki}^{CI} + Y_{ki}^{CI}) + T_{BC} + T_{def}] + p_{drop}^l \times TTL; \quad (2)$$

$$j = f(i). k = g(i)$$

در رابطه فوق  $A_i$  میانگین زمان پردازش وظایف پردازشی توسط شیء  $i$  نام است.  $p_{drop}^l$  احتمال مقدر نبودن پردازش وظایف پیش از منقضی شدن و دور ریخته شدن آن است.  $X_{ij}^{IF}$  تأخیر انتشار و  $Y_{ij}^{IF}$  تأخیر انتقال لینک مابین شیء  $i$  و نود  $j$  است. همچنین  $X_{ik}^{IC}$  و  $Y_{ik}^{IC}$  به ترتیب مجموع تأخیر انتشار و مجموع تأخیر انتقال لینک های اتصال دهنده شیء  $i$  به سرویس دهنده  $k$  است و  $X_{ki}^{CI}$  و  $Y_{ki}^{CI}$  به ترتیب مجموع تأخیر انتشار و مجموع تأخیر انتقال لینک های میان سرویس دهنده  $k$  و شیء  $i$  است.  $E_k$  و  $E_i$  نیز به ترتیب تأخیر حاصل از سربار رمزنگاری/رمزگشایی بسته های حامل وظایف پردازشی توسط شیء  $i$  و سرویس دهنده  $k$  است. لازم به توضیح است که تأخیر انتظار در صف هر لینک در پارامتر تأخیر انتقال گنجانده شده است.

پارامتر  $T_{BC}$  میانگین تأخیر تحمیل شده به اشیاء در اثر فرایندهای انجام شده در زنجیره بلوکی (مانند تشکیل بلوک، ماینینگ و محاسبه و تبادل چکیده دفتر کل) است. از آنجایی که فرایندهای انجام شده در زنجیره بلوکی موجب افزایش تأخیر در کل شبکه می شود، این پارامتر برای تمام اشیاء یکسان فرض شده است. پارامتر  $T_{def}$  نیز میانگین تأخیر ناشی از سرهم بندی<sup>۵</sup> پاسخ وظایف تکه تکه شده در شیء  $i$  نام است. همچنین  $f(i)$  و  $g(i)$  توابعی هستند که مشخص می کنند شیء  $i$  نام وظایف خود را برای کدام نود و کدام سرویس دهنده ارسال می کند.

$L_{ij}$  شامل تمام تأخیرهای اتفاق افتاده در لایه مه و احتمالاً در لایه ابر (در صورت نیاز به آفلود شدن وظیفه به سرویس دهنده لایه ابر) است. تأخیرهای لایه مه شامل تأخیر پردازش و انتظار در صف پردازشی نود پردازش کننده وظیفه، تأخیر انتشار و تأخیر انتقال تمام لینک های مابین نودهایی که وظیفه میان آنها آفلود شده (در مسیر رفت و برگشت)، تأخیر حاصل از تکه تکه کردن وظیفه (در صورت وقوع)، تأخیر حاصل از رمزنگاری/رمزگشایی در هر نود و تأخیرهای اتفاق افتاده در لایه ابر شامل تأخیرهای انتشار و انتقال، تأخیر حاصل از رمزنگاری/رمزگشایی و تأخیر پردازش وظیفه در سرویس دهنده است. همچنین  $\bar{H}_k$  شامل تأخیر انتظار در صف و تأخیر پردازش سرویس دهنده  $k$  است.

ابر نقش مرجع صدور گواهی نامه ( $CA^1$ ) را بازی می کند.

- اشیاء و نودهای لایه مه، هر جریان ترافیکی را با یک کلید فرعی مجزا رمزنگاری می کنند. کلید فرعی برای رمزنگاری جریان ترافیکی آتی نیز در پایان جریان ترافیکی فعلی تعیین می شود. در صورت قطع ارتباط پیش از انجام تعیین کلید ارتباط بعدی، تبادل کلید توسط یک متد گسترش کلید مانند دفی-هلمن [۳۰] یا F-secure [۳۱] انجام می شود.
- اشیاء و نودهای لایه مه یکدیگر را با کمک سرویس دهندگان لایه ابر احراز هویت و اعتبارسنجی می کنند. درواقع سرویس دهنده لایه ابر کلید رمزنگاری و مکانیسم احراز هویت را برایشان مشخص نموده و ID نودهای مجاز را نگهداری می کند.

موضوعی که اهمیت اساسی در تعیین کیفیت سرویس اشیاء دارد، مقدار تأخیر در دریافت سرویس است. در اینجا فاصله زمانی میان آماده شدن یک وظیفه پردازشی تا حصول جواب آن را تأخیر سرویس<sup>۲</sup> می نامیم و تأخیر سرویس وظیفه  $i$  نام شیء  $i$  را با  $\tau_j^i$  نمایش می دهیم. تأخیر سرویس شیء  $i$  را نیز با  $d_i$  نمایش می دهیم که برابر با میانگین تأخیر سرویس وظایف پردازشی آن است:

$$d_i = \frac{\sum_j \tau_j^i}{n} \quad (1)$$

هر شیء وظایف پردازشی را با احتمال  $p_i^l$  خودش پردازش نموده، با احتمال  $p_i^F$  برای پردازش به یکی از نودهای واقع در لایه مه سپرده یا با احتمال  $p_i^C$  برای سرویس دهنده های لایه ابر ارسال می کند (در اصطلاح آفلود می کند). وظایف پردازشی با احتمال  $b_i$  از نوع سبک (محاسبات ساده ای مانند میانگین گیری عددی) یا با احتمال  $b_i' = 1 - b_i$  از نوع سنگین (محاسبات پیچیده ای مانند پردازش تصویر) است.

هر نود این امکان را دارد که وظایف دریافتی را برای یک نود دیگر در همان BC یا برای یک سرویس دهنده آفلود نماید. همچنین با هدف افزایش سطح امنیت، نودها تلاش می کنند در صورت امکان وظایف را پیش از آفلود، تکه تکه<sup>۳</sup> نمایند. عمل تکه تکه کردن موجب کاهش ارزش اطلاعاتی زیروظایف<sup>۴</sup> شده و در صورت بروز یک حمله موفق، اطلاعات ناقص و کم ارزشی به دست محاجم می افتد. با عنایت به موارد فوق، تأخیر سرویس شیء  $i$  نام را می توان به صورت زیر محاسبه کرد:

<sup>۴</sup> Subtask

<sup>۵</sup> Defragmentation

<sup>۱</sup> Certificate Authority

<sup>۲</sup> Service Delay

<sup>۳</sup> Fragment

وظیفه پردازشی از آن تخطی کند، منقضی شده و دیگر پاسخ آن برای شیء مالک ارزشمند نبوده و دور ریخته می‌شود. همچنین هر شیء دارای کمینه تأخیر سرویس بوده که با  $d_i^{min}$  نمایش داده می‌شود. اگر یک شیء تأخیر سرویسی برابر با  $d_i^{min}$  داشته باشد به بی‌شینه کیفیت سرویس قابل حصول خود رسیده است. بنابراین تلاش برای کاهش تأخیر سرویس اشیاء بیش از این مقدار، کمکی به افزایش کیفیت سرویس کل شبکه ننموده و حالت بهینه، رساندن تأخیر سرویس تمام اشیاء به مقدار  $d_i^{min}$  است. مقادیر  $d_i^{min}$  و  $d_i^{max}$  برای هر شیء با توجه به کاربرد تعیین می‌شود.

توپولوژی اتصال میان نودهای لایه مه و اشیاء به صورت یک به  $n$  است؛ یعنی هر شیء تنها می‌تواند به یک نود در لایه مه متصل باشد اما هر نود در لایه مه می‌تواند به تعداد بسیاری شیء متصل شود. توپولوژی اتصال میان نودهای لایه مه اما از قاعده مشخصی پیروی نمی‌کند. هر دو نود در لایه مه که در خط دید یکدیگر باشند و نسبت سیگنال به نویز و تداخلشان<sup>۳</sup> بیشتر از حد آستانه باشد  $(SINR_{ij} > SINR_{threshold})$ ، به هم متصل شده و در اصطلاح همسایه هستند. توپولوژی اتصال میان نودهای لایه مه و سرویس‌دهندگان لایه ابر نیز به صورت  $n$  به یک است.

### ۳ الگوریتم مکاشفه‌ای

در فصل قبل مفروضات راهکار پیشنهادی برای بهبود امنیت و حفظ حریم خصوصی بیان شد. در این فصل الگوریتم مکاشفه‌ای پیشنهادی باهدف کمینه کردن میانگین تأخیر سرویس اشیاء با رعایت عدالت شرح داده می‌شود.

هر نود در لایه مه هنگامی که بسته‌ای از اشیاء متصل یا نودهای همسایه دریافت می‌کند، با توجه به میزان ازدحام در صف پردازشی خود تصمیم می‌گیرد که بسته را پردازش کند یا آن را آفلود نماید. همچنین با توجه به میزان ازدحام موجود در صف پردازشی و میزان تاخیر انتقال و تاخیر انتشار لینک ارتباطی با نودهای همسایه، تصمیم می‌گیرد آیا آن را برای یکی از نودهای همسایه در لایه مه ارسال کند یا برای سرویس‌دهندگان لایه ابر؟ نتیجه این تصمیم‌گیری تأثیر بسیاری در کاهش یا افزایش تأخیر سرویس دریافتی اشیاء ایفاء می‌کند؛ به همین سبب الگوریتم پیشنهادی به شیوه تصمیم‌گیری نودهای لایه مه در مورد بسته‌های دریافتی می‌پردازد. در  $\bullet$  فلوجارت الگوریتم پیشنهادی نمایش داده شده است.

هر نود هنگامی که یک بسته دریافت می‌کند، ابتدا پرچم  $FSC^4$  را بررسی می‌نماید. این پرچم بیانگر این موضوع است که آیا شیء مالک وظیفه، مَصْر به پردازش شدن وظیفه در لایه ابر است یا خیر؟

از آنجایی که تعداد دفعات آفلود شدن و اینکه آیا وظایف پردازشی به لایه ابر نیز آفلود خواهند شد یا خیر از پیش مشخص نیست، رابطه تأخیر در لایه مه به صورت بازگشتی<sup>۱</sup> نوشته شده است. در رابطه زیر  $L_{ij}(x)$  نشان‌دهنده تأخیر سرویس پردازش وظایف شیء  $i$  (که به نود  $j$  متصل است) در لایه مه و احتمالاً لایه ابر، در  $x$ امین دفعه آفلود شدن است:

$$L_{ij}(x) = P_j \cdot (\bar{T}_{process}^j + X_{ji}^{FI} + Y_{ji}^{FI} + E_j) + (1 - P_j) \cdot \left[ [1 - \phi(x)] \cdot [X_{jj'}^{FF} + Y_{jj'}^{FF} + E_{j'} + \gamma \times T_{frag} + L_{ij'}(x + 1)] + \phi(x) \cdot [X_{jk}^{FC} + Y_{jk}^{FC} + \bar{H}_k + X_{ki}^{CI} + Y_{ki}^{CI} + E_j + E_k] \right];$$

$$j' = best(j). k = h(j)$$

که در رابطه فوق  $\bar{T}_{process}^j$  میانگین زمان پردازش وظایف در نود  $j$ ،  $E_j$  تأخیر حاصل از رمزنگاری/رمزگشایی بسته در نود  $j$  و  $\phi(x)$  تابع تصمیم‌گیری درباره آفلود کردن وظایف به بهترین نود همسایه یا سرویس‌دهنده لایه ابر است. خروجی تابع  $\phi(x)$  یکی از مقادیر صفر یا یک است. مقدار صفر به معنی آفلود برای بهترین همسایه و مقدار یک به معنی آفلود برای سرویس‌دهنده است.

$T_{frag}$  میانگین تأخیر ناشی از تکه‌تکه کردن وظایف پردازشی است که با احتمال  $\gamma$  رخ می‌دهد (برخی از وظایف امکان تکه‌تکه شدن را ندارند).  $h(j)$  و  $best(j)$  به ترتیب توابع مشخص‌کننده سرویس‌دهنده متصل و بهترین همسایه برای نود  $j$  است.

هریک از نودهای لایه مه یا لایه ابر پس از پردازش وظیفه محوله، پاسخ آن را برای شیء مالک وظیفه ارسال می‌کند. از آنجایی که هیچ مسیر مستقیمی میان اشیاء و سرویس‌دهندگان لایه ابر وجود ندارد، تمامی تبادلات میان اشیاء و سرویس‌دهندگان از طریق نودهای لایه مه صورت می‌پذیرد.

در راهکار پیشنهادی هدف کمینه نمودن میانگین تأخیر سرویس اشیاء با رعایت انصاف است؛ به این ترتیب کیفیت سرویس هیچ‌یک از اشیاء قربانی کمینه‌سازی میانگین تأخیر سرویس کل نمی‌شود. برای این مهم از تابع انصاف نسبی<sup>۲</sup> استفاده کرده و مسئله را به صورت زیر فرموله نموده‌ایم:

$$\text{MIN} \frac{1}{|S_P^I|} \sum_{i \in S_P^I} \frac{|d_i - d_i^{min}|}{d_i^{min}} \quad (4)$$

subject to:

$$d_i < d_i^{max}; \forall i \in S_P^I$$

در مسئله فوق  $S_P^I$  مجموعه اشیاء حاضر در حوزه  $P$  است.  $d_i^{max}$  بی‌شینه تأخیر قابل‌پذیرش برای شیء  $i$  است و در صورتی که یک

<sup>۳</sup> Signal to Interference plus Noise Ratio (SINR)

<sup>۴</sup> Force Send to Cloud

<sup>۱</sup> Recursive

<sup>۲</sup> Proportional Fairness

بسته با مقدار تاخیر صف پردازشی + دو برابر تأخیر انتشار + دو برابر تأخیر انتقال بهترین همسایه مقایسه می شود. اگر مقدار محاسبه شده بزرگ تر از TTL بود یعنی امکان پردازش بسته در لایه مه وجود ندارد و باید برای سرویس دهندگان لایه ابر آفلود شود. در غیر این صورت بسته برای بهترین همسایه ارسال خواهد شد.

علت دیگری که باعث می شود نود از آفلود بسته برای بهترین همسایه منصرف شود، بیشتر شدن تعداد دفعات آفلود شدن ( $N_{fwd}$ ) از حد آستانه از پیش تعیین شده ( $e_m$ ) است. علت وجود این پارامتر جلوگیری از گرفتار شدن بسته ها در حلقه<sup>۲</sup> م سیریابی است. با این ترتیب بدون نیاز به ذخیره کردن سابقه بسته های پردازش شده در هر نود، مطمئن می شویم هیچ گاه بسته ای در حلقه م سیریابی گرفتار نمی شود.

اگر تاخیر صف پردازشی + دو برابر تأخیر انتشار + دو برابر تأخیر انتقال بهترین همسایه کوچک تر از TTL بسته با شد، برای بهترین همسایه آفلود می شود. قبل از آفلود اما ترجیح بر این است که وظیفه به دو زیروظیفه تقسیم شود. مزیت این عمل مزیت بالا رفتن سطح امنیت داده ها است زیرا هر یک از زیروظایف ارزش اطلاعاتی پایینی دارند.

پیش از آفلود وظیفه برای بهترین همسایه، پرچم تکه تکه شدن (Fragmentation\_Flag) و پارامتر شماره تکه تکه (Fragmentation\_Number) بسته بررسی می شود. در صورتی که پرچم تکه تکه شدن برابر با False باشد به این معناست که وظیفه مذکور قابلیت تقسیم به دو زیروظیفه را ندارد. همچنین اگر پارامتر شماره تکه تکه مقداری شده باشد یعنی بسته مذکور خود یک زیروظیفه است و دیگر نمی توان آن را به دو زیروظیفه تقسیم کرد. اگر مقدار پرچم تکه تکه شدن برابر با True و پارامتر شماره تکه مقداری نشده باشد، وظیفه مذکور به دو زیروظیفه تقسیم شده و مجدداً هر دو زیروظیفه برای پردازش توسط نود امکان سنجی می شود. در غیر این صورت یک واحد به پارامتر  $N_{fwd}$  بسته اضافه شده و بسته برای بهترین همسایه آفلود می شود.

در صورت لزوم آفلود نمودن بسته برای سرویس دهنده لایه ابر، بررسی می شود که آیا سرویس دهنده قادر به پردازش وظیفه و بازگرداندن پاسخ آن به شیء مالک در زمانی کوتاه تر از TTL بسته هست یا خیر؟ اگر دو برابر تأخیر انتشار + دو برابر تأخیر انتقال ارسال بسته برای سرویس دهنده کوچک تر از TTL بسته بود، بسته برای سرویس دهنده آفلود می شود (پیش از ارسال عمل تغییر آدرس فرستنده بسته نیز انجام می شود). در غیر این صورت بسته دور ریخته می شود زیرا هیچ موجودیتی در شبکه وجود ندارد که بسته را پیش از منقضی شدنش پردازش و پاسخ را برای شیء مالک

هنگامی که یک شیء تصمیم به ارسال مستقیم وظیفه ای به سرویس دهندگان لایه ابر نمود، پرچم FSC بسته را مقداردهی می کند ( $Flag_{FSC} = 1$ ). در صورتی که این پرچم مقداردهی شده باشد، نود دریافت کننده بسته بلافاصله و بدون هیچ پردازشی آن را برای سرویس دهنده لایه ابر ارسال می کند. در غیر این صورت فیلد<sup>۱</sup> TTL بسته بررسی می شود. فیلد TTL متناظر با پارامتر  $d_i^{max}$  در مسئله (۴) است.

هر شیء در هنگام آفلود نمودن وظایف پردازشی خود به لایه مه یا ابر، فیلد TTL بسته ها را مقداردهی می کند. مقداردهی فیلد TTL توسط هر شیء در هنگام قرار دادن وظایف پردازشی در بسته های IP و متناسب با کاربرد (کنترل دما، پردازش تصویر دوربین های ویدئویی و غیره) انجام می شود.

هر نود یا سرویس دهنده پیش از پردازش وظیفه، مقدار TTL بسته را به اندازه زمان تخمینی انتظار خود کاهش می دهد. همچنین پیش از ارسال بسته (وظیفه پردازشی یا پاسخ وظیفه)، تأخیر انتشار و تأخیر انتقال از TTL بسته کسر می شود. همچنین هنگامی که وظیفه ای توسط یک نود یا سرویس دهنده پردازش شد، فیلد TTL وظیفه در بسته پاسخ کپی می شود.

هر نود پس از دریافت یک بسته، تاخیر صف پردازشی + تأخیر انتقال + تأخیر انتشار خود را با مقدار فیلد TTL بسته مقایسه می نماید. در صورتی که از مقدار TTL کوچک تر باشد، به این معناست که نود قادر است بسته را پردازش نموده و پاسخ آن را پیش از منقضی شدن، به شیء مالک بازگرداند. بنابراین بسته را در صف پردازشی خود قرار می دهد.

در صورتی که مقدار TTL از تاخیر صف پردازشی + تأخیر انتقال + تأخیر انتشار کوچک تر باشد، نود باید بسته را آفلود نماید. برای تصمیم گیری در این مورد لازم است بهترین همسایه شناسایی شود. منظور از بهترین همسایه، نودی است که در کوتاه ترین زمان بسته را پردازش نموده و پاسخ را بازمی گرداند.

هر نود برای مشخص نمودن بهترین همسایه مقدار تاخیر صف پردازشی + دو برابر تأخیر انتشار + دو برابر تأخیر انتقال را برای تمام همسایه ها محاسبه می نماید. علت قرار دادن ضریب دو برای تأخیر انتشار و تأخیر انتقال، در نظر گرفتن هر دو تأخیر پیش آمده، ابتدا در مسیر ارسال وظیفه پردازشی و سپس در مسیر دریافت پاسخ آن است. همسایه ای که کمترین مقدار را داشته باشد به عنوان بهترین همسایه مشخص می شود.

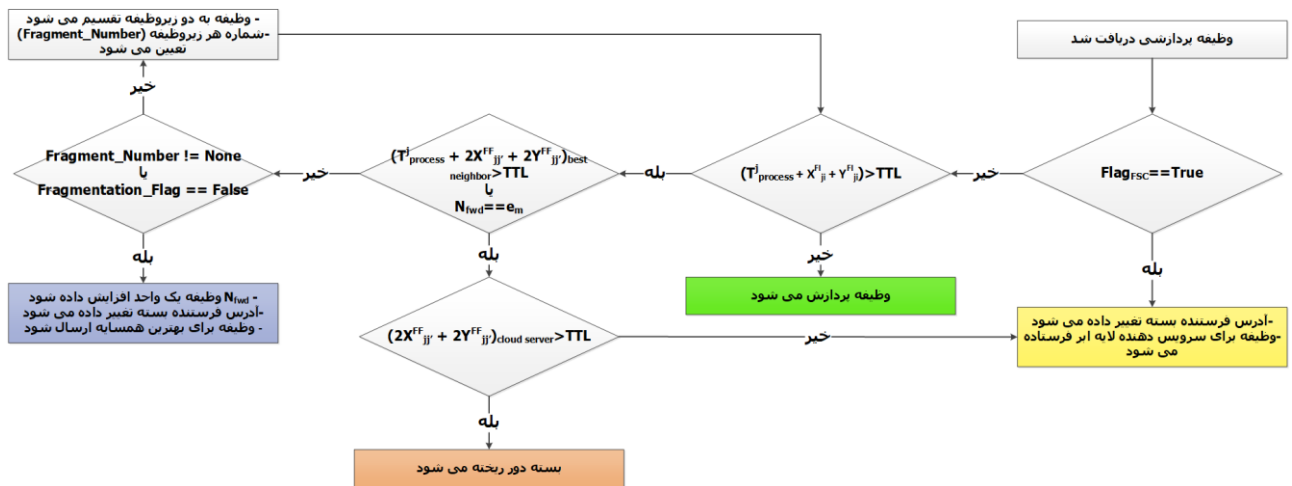
پس از مشخص شدن بهترین همسایه، لازم است بررسی شود که آیا بهترین همسایه قادر به پردازش وظیفه و بازگرداندن پاسخ آن در زمانی کمتر از TTL بسته هست یا خیر. برای این مهم TTL

<sup>۲</sup> Loop

<sup>۱</sup> Time-to-Live

ارسال کند. این عمل موجب پیشگیری از هدر رفت منابع شبکه به وسیله پردازش و انتقال بسته‌های منقضی می‌شود. در پاراگراف بالا به علت قدرت پردازشی بالای سرویس دهندگان لایه ابر، هنگام تصمیم‌گیری در مورد آفلود کردن یا نکردن بسته به سرویس‌دهنده، تنها به تأخیر انتشار و تأخیر انتقال توجه شده است؛ زیرا مدت‌زمان پردازش هر وظیفه توسط سرویس‌دهندگان ناچیز و قابل‌اغماض است. این عمل باعث کاهش سربار سیگنالینگ میان لایه ابر و لایه مه می‌شود؛ چراکه دیگر نیاز به گزارش دائم و وضعیت صف سرویس‌دهندگان به نودهای متصل در لایه مه نیست.

یک چارچوب بهبودیافته برای بهبود کیفیت و امنیت در شبکه اینترنت اشیاء با استفاده از زنجیره بلوکی و قدرت پردازشی لایه مه



شکل ۲. فلوجارت الگوریتم پیشنهادی

یک به چند است (یک نود تنها به یک سرورس دهنده متصل می شود اما هر سرورس دهنده به چند نود).

هر نود می تواند به یک یا چند نود دیگر متصل شود. توپولوژی اتصال نودها در لایه مه در هر دور از شبیه سازی توسط یک تولیدکننده تصادفی گراف با میانگین درجه ۳ ایجاد می شود. در شبیه سازی ها برای ایجاد چنین گرافی، از ابزار NetworkX [۳۳] استفاده شده است.

نرخ لینک های بین اشیاء و نودها، در صورتی که شیء از نوع سبک باشد ۲۵۰ kbps (BLE، NB-IoT، NFC) و در صورتی که شیء از نوع سنگین باشد ۵۴ Mbps (LTE-M، WiFi-ah) و IEEE 802.11 a/g (۸۰۲،۱۱) فرض شده است. همچنین نرخ لینک های بین نودها ۱۰۰ Mbps و نرخ لینک های میان نودها و سرورس دهندگان ۱۰ Gbps (فیبر نوری) فرض شده است.

تأخیر انتشار لینک های میان اشیاء و نودها، نودها با یکدیگر، نودها و سرورس دهندگان با توزیع یکنواخت و به ترتیب با  $U[۱,۲]$  و  $U[۰,۵,۱,۲]$  و  $U[۱۵,۳۵]$  میلی ثانیه تعیین شده است.

اندازه وظایف پردازشی تولیدی توسط اشیاء بدین صورت فرض شده است: اندازه وظایف سبک با توزیع نمایی و میانگین ۱۰۰ بایت و اندازه وظایف سنگین با توزیع نمایی و میانگین ۸۰ کیلوبایت است. همچنین میانگین اندازه پاسخ وظایف پردازشی با اندازه وظایف پردازشی برابر فرض شده است.

برای نزدیک تر شدن محیط شبیه سازی به واقعیت، قدرت پردازشی اشیاء مشابه میکروکنترلر Arduino Uno R۳ و قدرت پردازشی نودهای لایه مه مشابه پردازنده Intel dual-core i۷ فرض شده است. در بدترین حالت قدرت پردازشی یک نود حدود ۳۰۰۰ برابر بیشتر از یک شیء تولیدکننده وظیفه سبک ( $U[۵۰۰,۴۰۰۰]$ ) و ۲۰۰ بار بیشتر از یک شیء تولیدکننده وظیفه سنگین است ( $U[۱۰۰,۴۰۰۰]$ ). همچنین فرض بر این است که سرورس دهندگان

عمل دیگری که برای بالا بردن سطح امنیت و محافظت از حریم خصوصی اشیاء انجام می شود، جایگزینی آدرس شیء فرستنده بسته با آدرس نود پیش از آلوده است. این عمل تنها یکبار توسط نودهای متصل به اشیاء انجام می شود.

#### ۴ شبیه سازی

##### ۱،۴ محیط و پارامترهای شبیه سازی

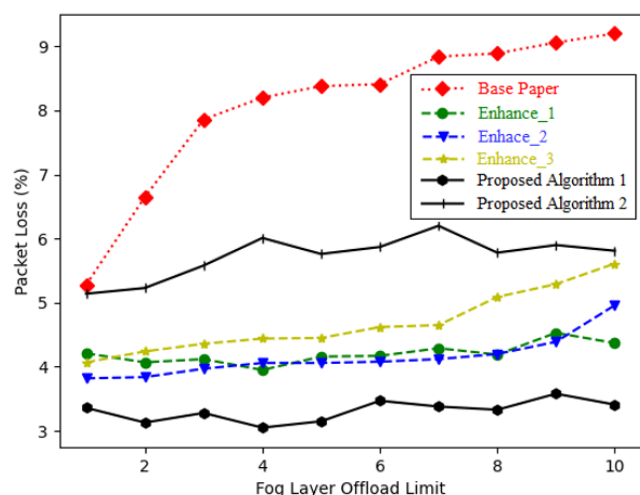
محیط شبیه سازی شبکه ای سه سطحی، مشابه شکل ۱ فرض شده است. در این شبکه ۵۰۰ شیء، ۲۵ نود و ۶ سرورس دهنده لایه ابر حضور دارند. در شبیه سازی برای ایجاد محیط و نودها، مدیریت ارسال و دریافت بسته ها، زمان بندی صف ها و رخدادها از ابزار Simpy [۳۲] در پایتون استفاده شده است.

هر شیء وظایف پردازشی را با احتمال ۱۰ درصد خود پردازش کرده، با احتمال ۷۵ درصد وظایف را برای پردازش به لایه مه ارسال نموده و با احتمال ۱۵ درصد پردازش وظایف را به لایه ابر می سپارد. وظایف پردازشی بر دو نوع هستند: وظایف سبک و وظایف سنگین. هر شیء نیز یا وظایف سبک تولید می کند یا وظایف سنگین. تعیین این مسئله در ابتدای شبیه سازی و با احتمال مساوی برای هر یک (تولید وظایف سبک یا سنگین) انجام می شود. نرخ تولید وظایف پردازشی سبک برای اشیاء ۰،۵ و نرخ تولید وظایف پردازشی سنگین ۰،۶ با توزیع پواسون فرض شده است.

نودهای لایه مه تنها راه ارتباطی اشیاء با شبکه هستند. هر شیء در لایه اشیاء به نزدیک ترین نود در لایه مه متصل می شود. در اینجا منظور از نزدیک ترین نود، نودی است که کمترین تأخیر انتشار میان شیء و آن نود وجود دارد. هر شیء تنها به یک نود متصل می شود اما هر نود می تواند به چندین شیء متصل شود. اتصال نودها به سرورس دهندگان لایه ابر نیز به همین صورت است. هر نود به نزدیک ترین سرورس دهنده لایه ابر متصل شده و اتصال آن ها



سایر پارامترهای شبیه‌سازی مطابق جدول زیر است. در این جدول



شکل ۴. درصد وظایف پردازشی که مقدار تأخیر سرویسیشان بیشتر از آستانه بیشینه زمان انتظار شده است

ز  $\theta_j$  آستانه زمان انتظار وظایف پردازشی مورداستفاده برای نودها در الگوریتم AFP [۱۰]،  $b_i$  احتمال سبک بودن نوع یک وظیفه پردازشی تولیدشده و  $TTL_j$  مدت زمانی است که یک شیء پس از ارسال وظیفه پردازشی  $Z_{am}$  به لایه مه یا لایه ابر، منتظر دریافت پاسخ آن می‌ماند.

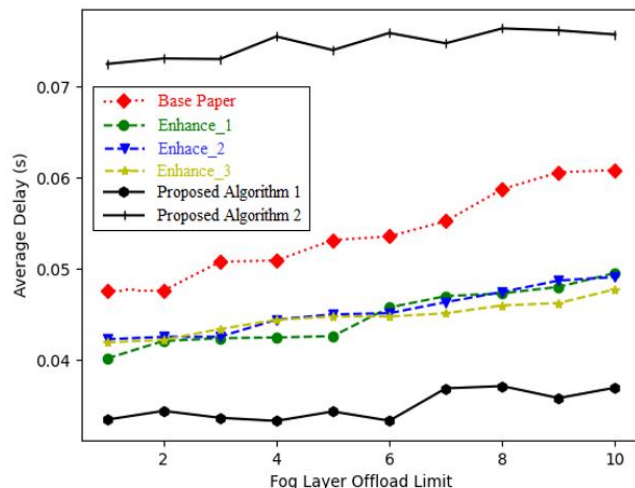
جدول ۱ سایر پارامترهای مورداستفاده در شبیه‌سازی

$p_i^f$	$p_i^f$	$b_i$	$\theta_j$	$TTL_j$
۰,۱	۰,۷۵	۰,۵	۰,۰۰۰۲	۰,۲

#### ۲,۴ نتایج شبیه‌سازی

در این قسمت نتایج شبیه‌سازی بحث می‌شود. نتایج شبیه‌سازی الگوریتم پیشنهادی با الگوریتم پیشنهادی در [۱۰] (AFP) مقایسه شده است. از آنجایی که تعداد ایده‌های پیشنهادی برای افزایش کارایی و بهبود سطح امنیت حریم خصوصی زیاد است، برای درک بهتر نتیجه هر یک، نتیجه پیاده‌سازی هر ایده به صورت مجزا نمایش داده شده و سپس تأثیر پیاده‌سازی تمام ایده‌ها در قالب الگوریتم پیشنهادی ارائه می‌شود. در شکل‌های ۳ و ۴ منظور از AFP، Enhance\_۱، Enhance\_۲، Enhance\_۳، Proposed Algorithm ۱ و Proposed Algorithm ۲ به شرح زیر است:

- منظور از AFP، الگوریتم ارائه شده در [۱۰] است.
- در Enhance\_۱ آستانه زمان انتظار وظایف پردازشی برای نودهای لایه مه حذف شده و تصمیم‌گیری هر نود برای پردازش یا آفلود کردن وظایف با مقایسه مقدار تأخیر صف پردازشی نود و تأخیر صف پردازشی



شکل ۳. مقایسه میانگین تأخیر سرویس وظایف پردازش شده اشیاء با تغییر آستانه تعداد آفلود مجاز برای هر نود لایه مه

به طور میانگین ۱۰۰ برابر سریع تر از نودهای لایه مه هستند ( $U[50, 200]$ ). در شبیه‌سازی میانگین مدت زمان پردازش وظایف سبک و سنگین توسط اشیاء به ترتیب ۳۰ و ۴۰۰ میلی ثانیه فرض شده است.

برای حداقل نمودن تأثیر شرایط شبیه‌سازی (مانند توزیع اشیاء سبک و سنگین، نرخ تولید بسته، توپولوژی شبکه و غیره) بر نتایج شبیه‌سازی، با اتکا بر روش مونت کارلو، در هر دور از شبیه‌سازی دو میلیون وظیفه سبک و سنگین توسط اشیاء تولید شده و نتیجه پردازش آن‌ها به دست اشیاء رسیده است.

پارامترهای مربوط به رمزنگاری و زنجیره بلوکی نیز به صورت زیر فرض شده است:

- با توجه به ارزیابی‌های انجام شده در [۳۴-۳۶]، سربار رمزنگاری و رمزگشایی بسته‌ها برابر با ۱۰ درصد با انحراف معیار ۳ فرض شده است. سربار محاسبه چکیده دفترکل (IL) نیز ۰,۲ میلی ثانیه در نظر گرفته شده است.
- تعداد وظیفه در هر بلوک ۱۵۰۰ فرض شده است.
- تکه‌تکه کردن بسته‌های پردازشی موجب افزایش مصرف حافظه در نودهای شبکه می‌شود. اما از آنجایی که حافظه نودهای شبکه بی‌نهایت فرض شده است، عمل تکه‌تکه کردن سرباری از نظر مصرف حافظه در شبیه‌سازی ایجاد نمی‌کند.
- به علت ناچیز بودن سربار پردازشی عمل تکه‌تکه کردن وظایف، از سربار پردازشی آن صرف نظر شده است.

بسته‌ها افزایش یافته و در نتیجه میانگین تأخیر پردازش اشیاء نیز افزایش می‌یابد.

همان‌طور که مشاهده می‌شود، در ۱ Proposed Algorithm با ادغام ایده‌های فوق، میزان بهبود بین ۳۰ الی ۵۰ درصدی حاصل شد. اما در ۲ Proposed Algorithm ادغام تمامی بهبودها نیز نتوانسته تأثیر منفی رمزنگاری و ثبت تراکنش‌ها در زنجیره بلوکی بر میانگین تأخیر سرویس را خنثی کند. میانگین تأخیر سرویس اشیاء در Proposed Algorithm ۲ حدود ۵۰ درصد بیشتر از AFP است. این افزایش در میانگین تأخیر سرویس هزینه‌ای است که درازای به دست آوردن امنیت در برابر انواع حملات مطرح در شبکه اینترنت اشیاء و حفظ حریم خصوصی پرداخت شده است.

در حال حاضر پژوهش‌های بسیاری برای پیشنهاد الگوریتم‌های سبک‌وزن رمزنگاری، محاسبه چکیده پیام، اعتماد، احراز هویت، مدل اعتبار و تشکیل زنجیره بلوکی کم‌هزینه در حال انجام است. در صورت به‌ثمر رسیدن این تلاش‌ها، جایگزینی الگوریتم‌ها و مکانیسم‌های فوق با الگوریتم‌ها و مکانیسم‌های امنیتی مورد استفاده در Proposed Algorithm ۲، هزینه ایمن‌سازی در راهکار پیشنهادی کاهش پیدا می‌کند.

به‌جز میانگین تأخیر سرویس، پارامتر مهم دیگری که بر کیفیت سرویس دریافتی اشیاء تأثیرگذار می‌گذارد، عبور تأخیر سرویس وظایف از حد آستانه است. علت اهمیت این پارامتر آن است که وظایفی که میزان تأخیرشان بیش از حد آستانه شود، دیگر ارزشی نداشته و دور ریخته می‌شوند؛ بنابراین پردازش و انتقال آن‌ها تنها موجب تحمیل سربار پردازش و انتقال بر شبکه اینترنت اشیاء است.

در ۰ تغییر پارامتر درصد وظایفی که تأخیر سرویسشان از حد آستانه عبور کرده (منقضی شده‌اند) نسبت به افزایش پارامتر  $e_m$  نشان داده شده است. همان‌طور که مشاهده می‌شود، درصد از دست دادن بسته‌ها الگوریتم‌های Enhance\_۱، Enhance\_۲، Enhance\_۳، Proposed Algorithm ۱ و Proposed Algorithm ۲ نسبت به AFP مقدار کمتری است. این امر به معنی بیشتر بودن کارایی و کمتر بودن سربار شبکه - به علت عدم اتلاف پهنای باند ارتباطی و منابع پردازشی شبکه برای پردازش و انتقال وظایف متأخر و همچنین عدم نیاز به ارسال مجدد وظایف متأخر به لایه مه و ابر برای پردازش - است.

نتیجه دیگری که از مقایسه میان نتایج حاصل از الگوریتم‌های AFP، Proposed Algorithm ۱ و Proposed Algorithm ۲ در شکل‌های ۳ و ۴ حاصل می‌شود، بهبود رعایت عدالت میان وظایف پردازشی اشیاء

+ دو برابر تأخیر انتشار + دو برابر تأخیر انتقال نوده‌های همسایه و دو برابر تأخیر انتشار + دو برابر تأخیر انتقال سرویس‌دهنده لایه ابر انجام می‌شود. بدین صورت هر نود بررسی می‌کند که آیا اگر خود بسته را پردازش کند بهتر است یا اینکه آن را به یکی از نوده‌های همسایه یا سرویس‌دهنده لایه ابر آفلود کند؟

- در Enhance\_۲ تکه‌تکه کردن وظایف پردازشی سنگین پیش از آفلود کردن آن‌ها پیاده‌سازی شده است. این عمل باهدف افزایش سطح امنیت و بهبود حریم خصوصی انجام می‌شود.
- در Enhance\_۳ سیاست صف‌های پردازش و ارسال نودها از FIFO به صف با اولویت تغییر داده شده است: هرچه مقدار TTL یک وظیفه کوچک‌تر، اولویت پردازش آن بالاتر. همچنین هر نود پیش از آفلود کردن هر وظیفه بررسی می‌کند که آیا امکان پردازش آن وظیفه در شبکه (توسط یک نود دیگر یا توسط سرویس‌دهنده لایه ابر) وجود دارد یا خیر؟ اگر جواب منفی بود، وظیفه مذکور دور ریخته می‌شود تا منابع شبکه بیهوده مصرف نشود. پاسخ این سؤال نیز از مقایسه تأخیر صف پردازشی نود با تأخیر صف پردازشی + دو برابر تأخیر انتشار + دو برابر تأخیر انتقال نوده‌های همسایه و دو برابر تأخیر انتشار + دو برابر تأخیر انتقال سرویس‌دهنده لایه ابر مشخص می‌شود.
- در Proposed Algorithm ۱ تمامی بهبودهای فوق پیاده‌سازی شده است.
- در Proposed Algorithm ۲ موارد امنیتی (رمزنگاری متقارن و زنجیره بلوکی) به Proposed Algorithm ۱ افزوده شده است.

در ۰ میزان تغییر میانگین تأخیر سرویس اشیاء با افزایش پارامتر  $e_m$  نشان داده شده است. همان‌طور که مشاهده می‌شود، هر یک از الگوریتم‌های Enhance\_۱، Enhance\_۲، Enhance\_۳ و Proposed Algorithm ۱ بین ۱۰ الی ۵۰ درصد کاهش در میانگین تأخیر سرویس برای اشیاء نسبت به AFP به ارمغان آورده است. همچنین با افزایش  $e_m$ ، میزان بهبود در عملکرد الگوریتم‌های فوق نسبت به AFP بیشتر شده است. این مشاهده نشان‌دهنده هوشمندی بیشتر الگوریتم‌های فوق در هنگام تصمیم‌گیری برای آفلود نمودن وظایف پردازشی نسبت به AFP است. در AFP لازم است مقدار  $e_m$  همواره مقدار کوچکی باشد، زیرا با افزایش آن تعداد دفعات آفلود بی‌مورد

- [۳] K. L. Lueth. "The ۱۰ most popular Internet of Things applications right now," *iot-analytics.com/۱۰-internet-of-things-applications/*, ۲۰۱۷.
- [۴] A. Al-Fuqaha, M. Guizani, M. Mohammadi, M. Aledhari, and M. Ayyash, "Internet of things: A survey on enabling technologies, protocols, and applications," *IEEE communications surveys & tutorials*, vol. ۱۷, no. ۴, pp. ۲۳۴۷-۲۳۷۶, ۲۰۱۵.
- [۵] K. Kumar, and Y.-H. Lu, "Cloud computing for mobile users: Can offloading computation save energy?," *Computer*, vol. ۴۳, no. ۴, pp. ۵۱-۵۶, ۲۰۱۰.
- [۶] B.-G. Chun, S. Ihm, P. Maniatis, M. Naik, and A. Patti, "Clonecloud: elastic execution between mobile device and cloud." pp. ۳۰۱-۳۱۴, ۲۰۱۱.
- [۷] A. Rudenko, P. Reiher, G. J. Popek, and G. H. Kuenning, "Saving portable computer battery power through remote process execution," *ACM SIGMOBILE Mobile Computing and Communications Review*, vol. ۲, no. ۱, pp. ۱۹-۲۶, ۱۹۹۸.
- [۸] G. C. Hunt, and M. L. Scott, "A guided tour of the Coign automatic distributed partitioning system." pp. ۲,۲۶۲-۵۲, ۱۹۹۸
- [۹] S. Kosta, A. Aucinas, P. Hui, R. Mortier, and X. Zhang, "Thinkair: Dynamic resource allocation and parallel execution in the cloud for mobile code offloading." pp. ۹۴۵-۹۵۳, ۲۰۱۲.
- [۱۰] A. Yousefpour, G. Ishigaki, and J. P. Jue, "Fog Computing: Towards Minimizing Delay in the Internet of Things." pp. ۱۷-۲۴, ۲۰۱۷.
- [۱۱] A. Demers, S. Keshav, and S. Shenker, "Analysis and simulation of a fair queueing algorithm," *ACM SIGCOMM Computer Communication Review*, vol. ۱۹, no. ۴, pp. ۱-۱۲, ۱۹۸۹.
- [۱۲] H. Zhang, and J. C. Bennett, "WF<sup>2</sup>Q: worst-case fair weighted fair queueing." pp. ۱۲۰-۱۲۸, ۱۹۹۶.
- [۱۳] D. M. Dakshayini, and D. H. Guruprasad, "An optimal model for priority based service scheduling policy for cloud computing environment," *International journal of computer applications*, vol. ۳۲, no. ۹, pp. ۲۳-۲۹, ۲۰۱۱.
- [۱۴] J. Jang, J. Jung, and J. Hong, "K-LZF: An efficient and fair scheduling for Edge Computing servers," *Future Generation Computer Systems*, vol. ۹۸, pp. ۴۴-۵۳, ۲۰۱۹.
- [۱۵] T. Choudhari, M. Moh, and T.-S. Moh, "Prioritized task scheduling in fog computing." pp. ۱-۸, ۲۰۱۸.

مختلف به لحاظ تأخیر سرویس توسط ۱ Proposed Algorithm و ۲ Proposed Algorithm است. الگوریتم AFP با اینکه میانگین تأخیر سرویس پایین‌تری نسبت به ۲ Proposed Algorithm برای اشیاء ایجاد کرده است، موجب عبور تأخیر سرویس تعداد بیشتری از وظایف از حد آستانه شده است. این بدان معناست که واریانس تأخیر سرویس وظایف پردازش‌شده در AFP بالاتر از Proposed Algorithm ۲ بوده و تأخیر سرویس وظایف پردازش‌شده در Proposed Algorithm ۲ پراکندگی کمتری از میانگین دارند. به این ترتیب در ۱ Proposed Algorithm و ۲ Proposed Algorithm از منظر کیفیت سرویس، عدالت میان اشیاء مالک وظایف بهتر رعایت شده است.

## ۵. نتیجه‌گیری

در این پژوهش یک راهکار باهدف کمینه نمودن میانگین تأخیر سرویس و تضمین امنیت و حفظ حریم خصوصی اشیاء پیشنهاد شد. ایده‌های مطرح‌شده در راهکار پیشنهادی برای کاهش تأخیر سرویس اشیاء موفق به ایجاد کاهش قابل توجه نسبت به سایر پژوهش‌های انجام‌شده در این زمینه شده است. اما اضافه نمودن مکانیسم‌های امنیتی (شامل رمزنگاری ارتباطات، احراز هویت متقابل اشیاء و نودها و سرویس‌دهندگان، تشکیل زنجیره بلوکی در لایه مه، ماینینگ و ثبت تراکنش‌ها توسط نودهای لایه مه، محاسبه و ذخیره نمودن چکیده دفتر کل)، موجب تحمیل هزینه سنگینی از نظر افزایش میانگین تأخیر سرویس اشیاء شد.

مقدار میانگین تأخیر سرویس اشیاء در راهکار پیشنهادی تابعی از تأخیر ایجادشده به دلیل پیاده‌سازی مکانیسم‌های امنیتی است. بدین ترتیب در آینده با بهبود کارایی این روش‌ها، عملکرد راهکار پیشنهادی نیز بهبود خواهد یافت. علاوه بر موارد فوق، دستاوردهای دیگر این پژوهش رعایت عدالت میان اشیاء از منظر سطح کیفیت سرویس دریافتی و کاهش سربار ترافیکی و پردازشی بسته‌های منقذی (بسته‌هایی که قابلیت پردازش و بازگشت پاسخشان در زمانی کوتاه‌تر از حد آستانه وجود ندارد) در کل شبکه اینترنت اشیاء است.

## مراجع

- [۱] D. Raggett, "The web of things: Challenges and opportunities," *Computer*, vol. ۴۸, no. ۵, pp. ۲۶-۳۲, ۲۰۱۵.
- [۲] A. Whitmore, A. Agarwal, and L. Da Xu, "The Internet of Things—A survey of topics and trends," *Information Systems Frontiers*, vol. ۱۷, no. ۲, pp. ۲۶۱-۲۷۴, ۲۰۱۵.

- [۲۷] L. Zhang, Z. Cai, and X. Wang, "Fakemask: A novel privacy preserving approach for smartphones," *IEEE Transactions on Network and Service Management*, vol. ۱۳, no. ۲, pp. ۳۳۵-۳۴۸, ۲۰۱۶.
- [۲۸] M. A. Ferrag, L. Maglaras, and A. Ahmim, "Privacy-preserving schemes for ad hoc social networks: A survey," *IEEE Communications Surveys & Tutorials*, vol. ۱۹, no. ۴, pp. ۳۰۱۵-۳۰۴۵, ۲۰۱۷.
- [۲۹] Y. Hong, W. M. Liu, and L. Wang, "Privacy preserving smart meter streaming against information leakage of appliance status," *IEEE transactions on information forensics and security*, vol. ۱۲, no. ۹, pp. ۲۲۲۷-۲۲۴۱, ۲۰۱۷.
- [۳۰] H. Delfs, H. Knebl, and H. Knebl, *Introduction to cryptography*: Springer, ۲۰۰۲.
- [۳۱] "F-secure," [https://campaigns.f-secure.com/total/pm/en\\_us/](https://campaigns.f-secure.com/total/pm/en_us/).
- [۳۲] "Simpy," April ۲۵, ۲۰۱۹; <https://simpy.readthedocs.io/en/latest/contents.html>.
- [۳۳] "NetworkX," April ۲۵, ۲۰۱۹; <https://networkx.github.io/documentation/stable/index.html>.
- [۳۴] Y. Xiao, H.-H. Chen, B. Sun, R. Wang, and S. Sethi, "MAC security and security overhead analysis in the IEEE 802.15.4 wireless sensor networks," *EURASIP Journal on Wireless Communications and Networking*, vol. ۲۰۰۶, no. ۲, pp. ۸۱-۸۱, ۲۰۰۶.
- [۳۵] O. Barahat, M. Cuciuc, L. Petcan, C. Leordeanu, and V. Cristea, "Evaluation of Lightweight Block Ciphers for Embedded Systems." pp. ۴۹-۵۸, ۲۰۱۵.
- [۳۶] S. Maitra, and K. Yelamarthi, "Rapidly Deployable IoT Architecture with Data Security: Implementation and Experimental Evaluation," *Sensors*, vol. ۱۹, no. ۱۱, pp. ۲۴۸۴, ۲۰۱۹.
- [۱۶] E. S. Gama, R. Immich, and L. F. Bittencourt, "Towards a Multi-Tier Fog/Cloud Architecture for Video Streaming." pp. ۱۳-۱۴, ۲۰۱۸.
- [۱۷] C.-F. Lai, D.-Y. Song, R.-H. Hwang, and Y.-X. Lai, "A QoS-aware streaming service over fog computing infrastructures." pp. ۹۴-۹۸, ۲۰۱۶.
- [۱۸] B. Oniga, S. H. Farr, A. Munteanu, and V. Dadarlat, "IoT Infrastructure Secured by TLS Level Authentication and PKI Identity System." pp. ۷۸-۸۳, ۲۰۱۸.
- [۱۹] J. Won, A. Singla, E. Bertino, and G. Bollella, "Decentralized public key infrastructure for internet-of-things." pp. ۹۰۷-۹۱۳, ۲۰۱۸.
- [۲۰] I. Stojmenovic, and S. Wen, "The fog computing paradigm: Scenarios and security issues." pp. ۱-۸, ۲۰۱۴.
- [۲۱] K. Christidis, and M. Devetsikiotis, "Blockchains and smart contracts for the internet of things," *Ieee Access*, vol. ۴, pp. ۲۲۹۲-۲۳۰۳, ۲۰۱۶.
- [۲۲] P. K. Sharma, S. Y. Moon, and J. H. Park, "Block-VN: A distributed Blockchain based vehicular network architecture in smart city," *Journal of information processing systems*, vol. ۱۳, no. ۱, ۲۰۱۷.
- [۲۳] D. Shift, "Technology tipping points and societal impact.", ۲۰۱۵.
- [۲۴] Z. Cai, Z. He, X. Guan, and Y. Li, "Collective data-sanitization for preventing sensitive information inference attacks in social networks," *IEEE Transactions on Dependable and Secure Computing*, vol. ۱۵, no. ۴, pp. ۵۷۷-۵۹۰, ۲۰۱۸.
- [۲۵] X. Ren, X. Yang, J. Lin, Q. Yang, and W. Yu, "On scaling perturbation based privacy-preserving schemes in smart metering systems." pp. ۱-۷, ۲۰۱۳.
- [۲۶] X. Yang, X. Ren, J. Lin, and W. Yu, "On binary decomposition based privacy-preserving aggregation schemes in real-time monitoring systems," *IEEE Transactions on*